

“Una forma de presentación muy infrecuente de un tumor muy frecuente”

Nicolás López López

Rosa Ríos Pelegrina

Nelson Andrés Canales Casco

María Narváez Simón

Granada



Caso clínico

Varón 69 años

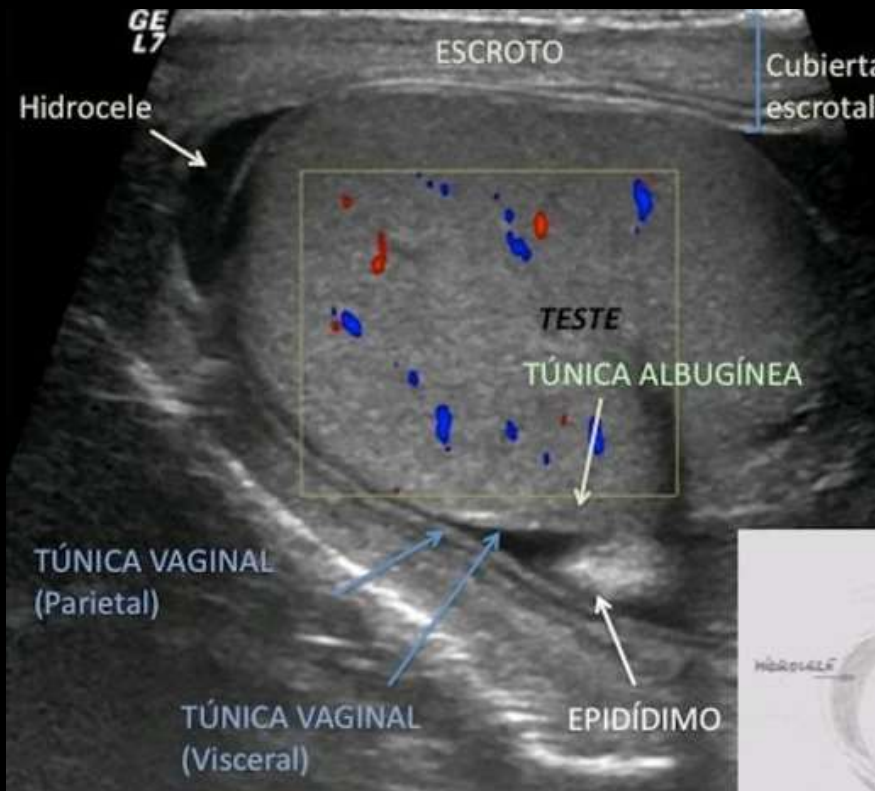
AP:

- Exfumador: 1 paq/día 38 años
- Hipotiroidismo en ttº con tiroxina
- Orquitis*** de repetición de un año de evolución con ***tumoración*** y aumento de tamaño del testículo derecho desde hace 4 meses

Exploración física: masa testicular derecha de gran tamaño con intenso varicocele compresivo

Ecografía

Anatomía testicular

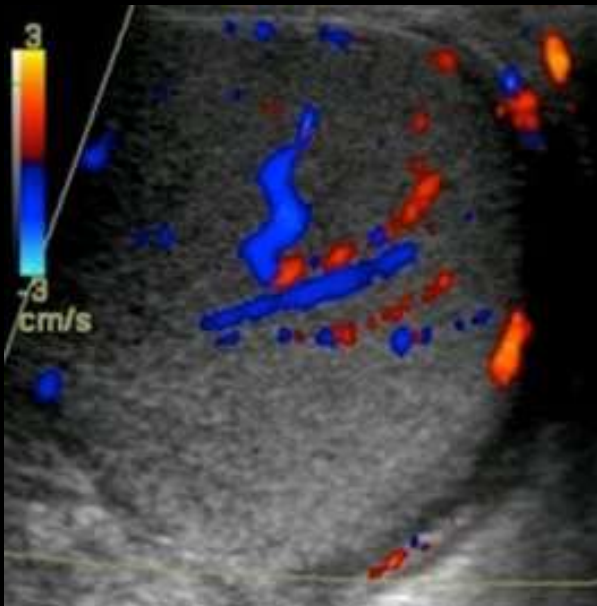


Paciente: testículo derecho

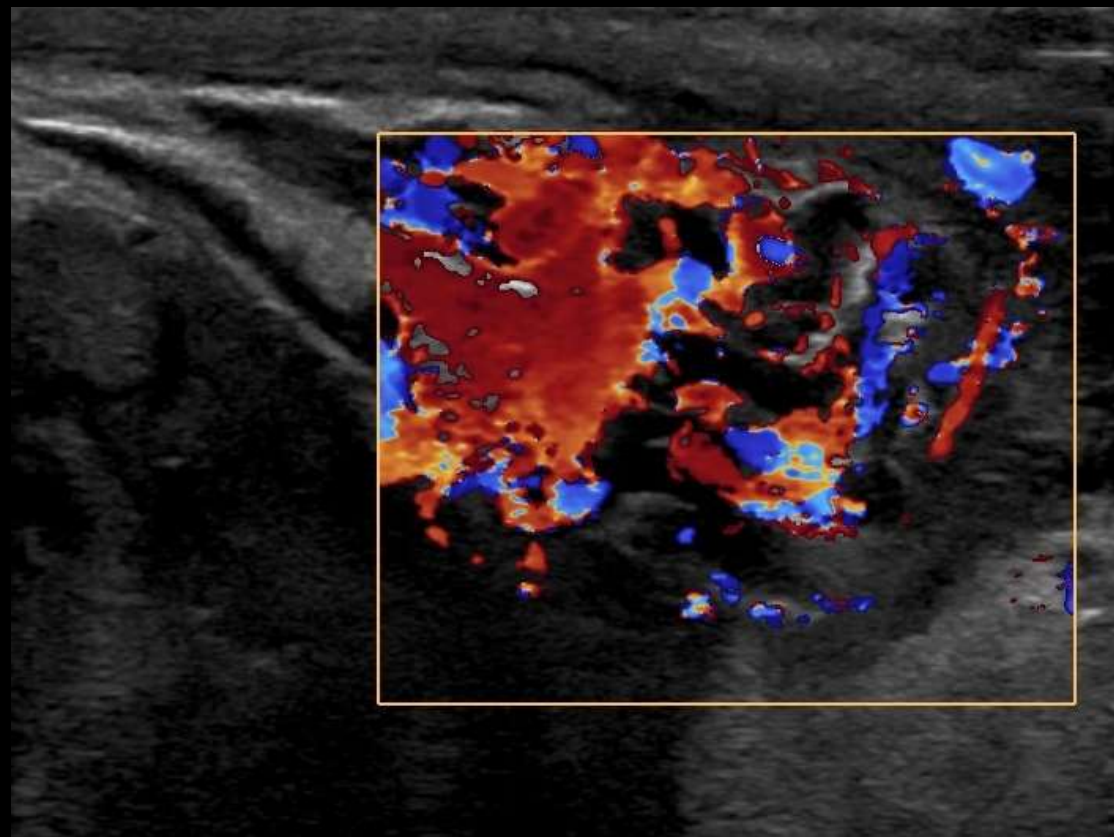


Eco-Doppler

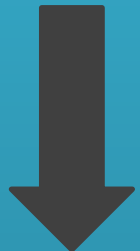
Testículo sano



Paciente



Sospecha clínica:
LINFOMA
sin poder descartar seminoma

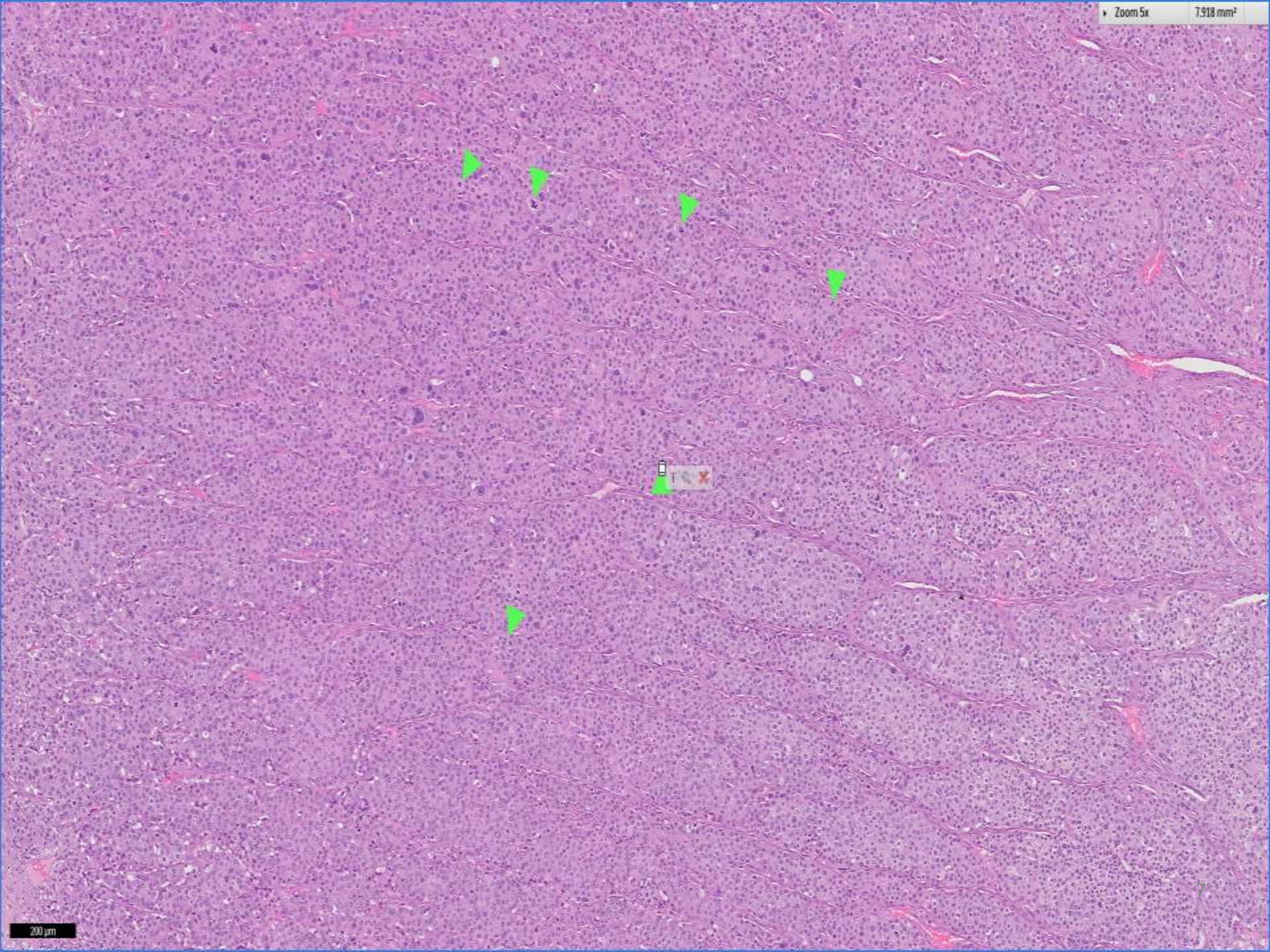


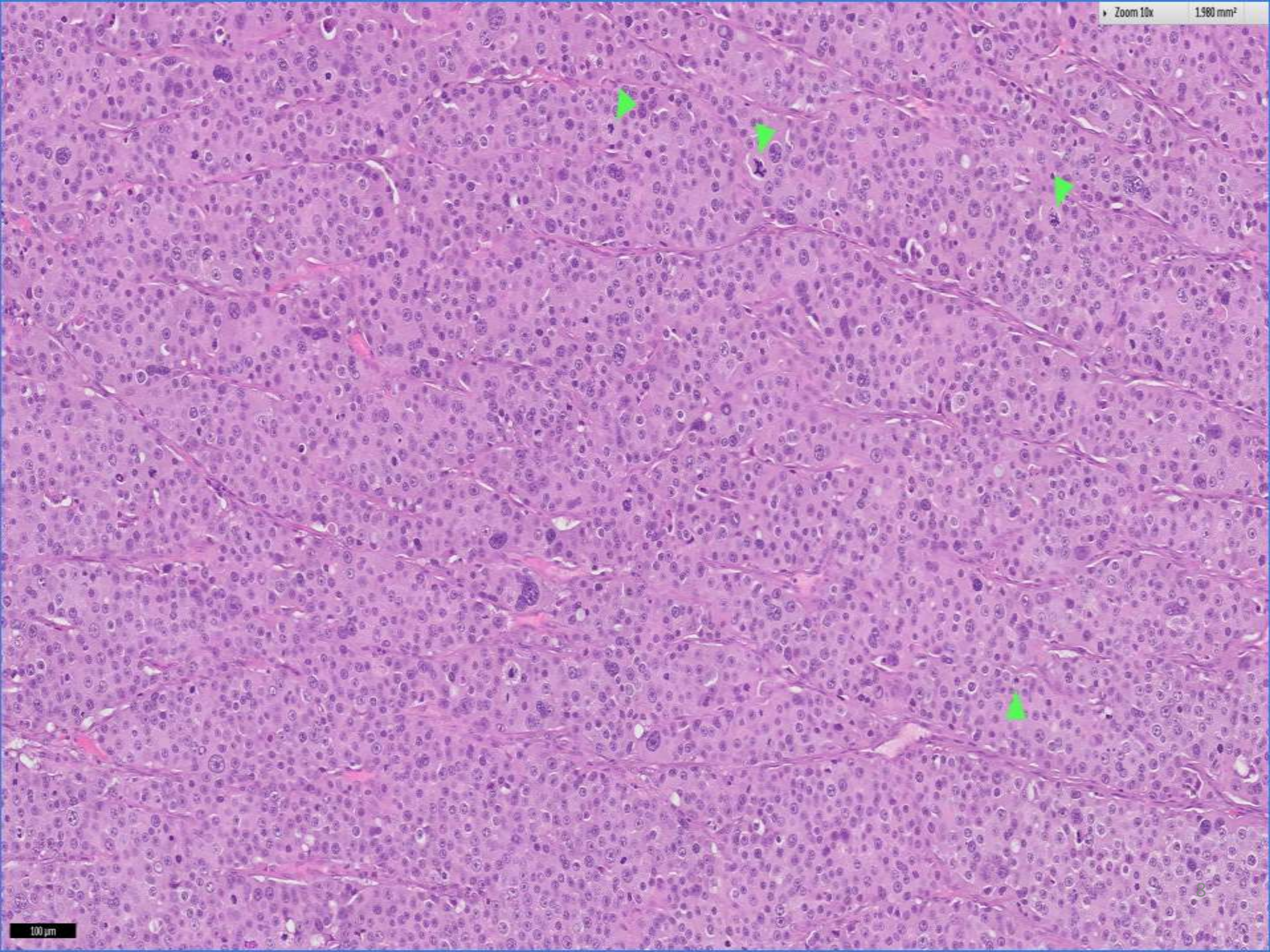
Orquitectomía unilateral derecha

Descripción macroscópica

Pieza de orquitectomía de **17 x 7 x 6 cm** y
420g

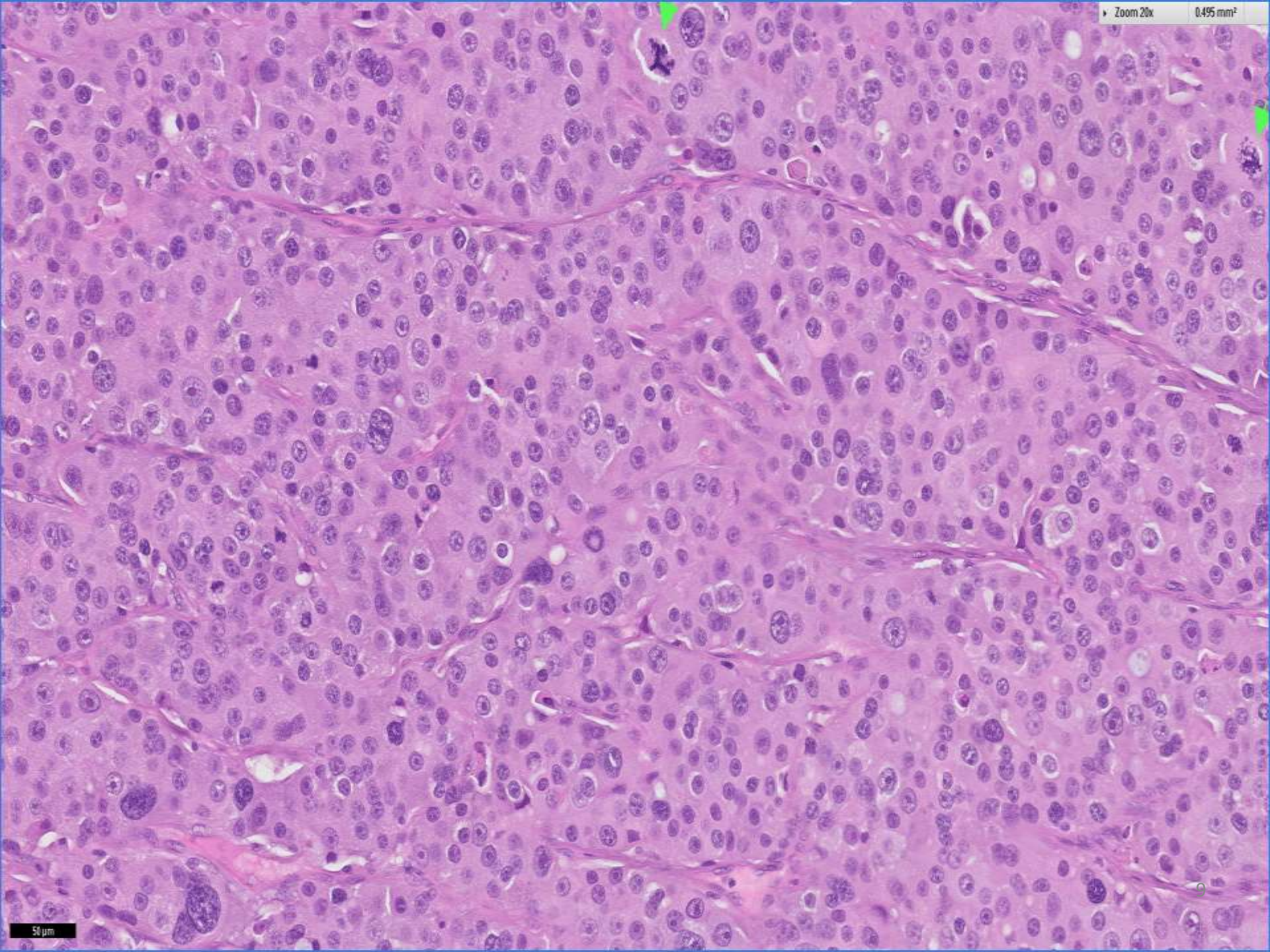
Tumoración de **13,5 x 6,5 cm**, bien delimitada por pseudocápsula, heterogénea de coloración parduzca y aspecto sólido en la periferia con centro necrótico-mixoide (75-80%), con extensión al cordón espermático.





100 µm

8



50 μm

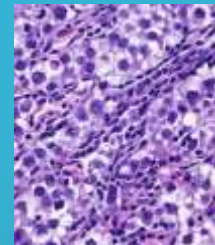
9

Diagnóstico diferencial

Tumores Germinales:

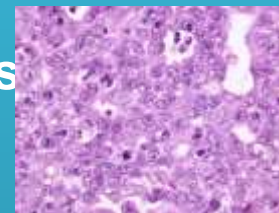
- Seminoma:

- septos fibrovasculares
- infiltrado linfocítico intenso



- Carcinoma Embrionario:

- límites citoplasmáticos poco evidentes**
- infiltrado linfocítico**

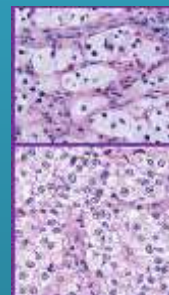


- Tumor del Saco Vitelino:

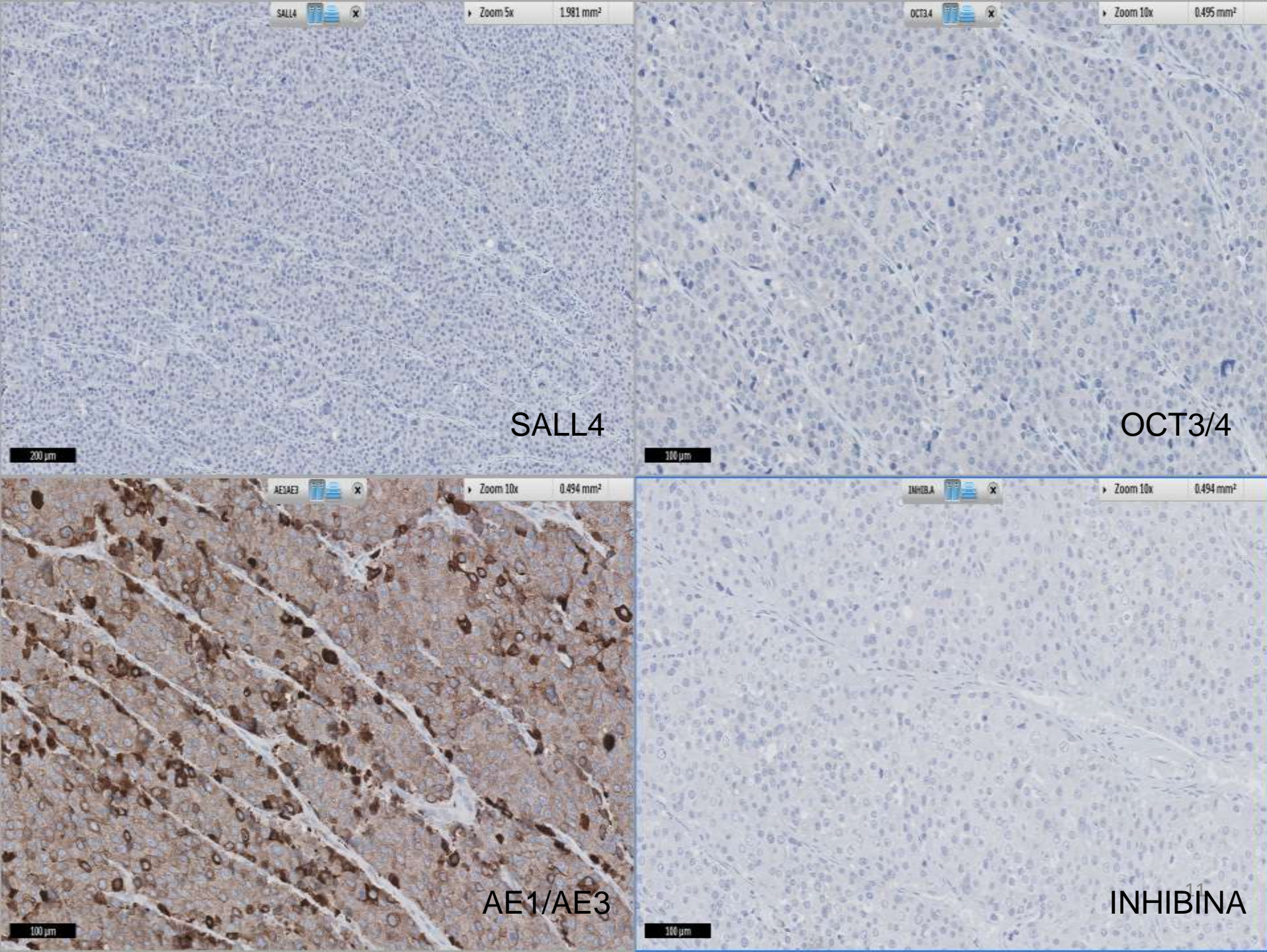
- Depósito citoplasmático y extracelular de glóbulos hialinos

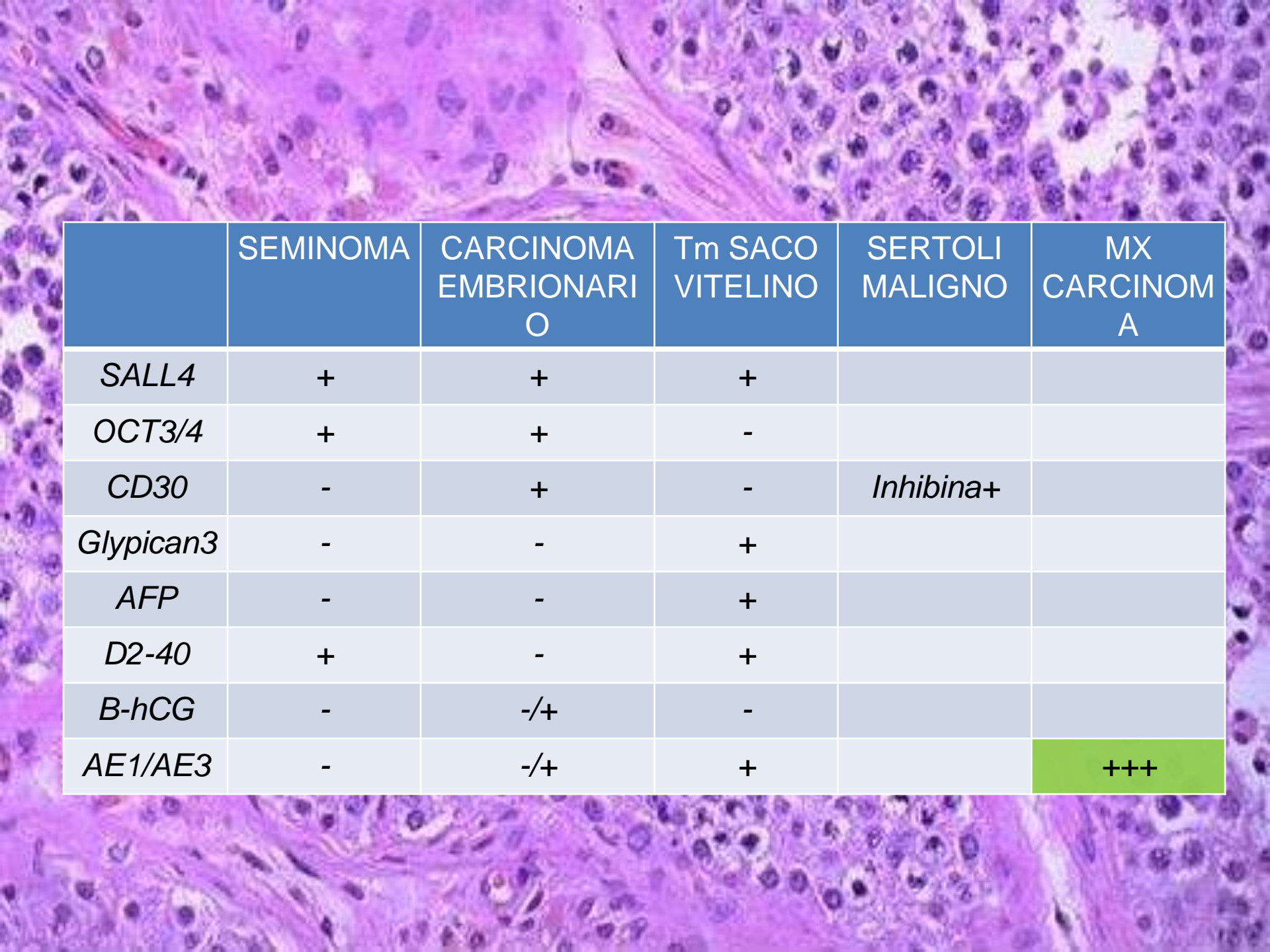
Tumor Sertoli maligno:

- mínima atipia
- núcleos pequeños redondeados



Metástasis de carcinoma





	SEMINOMA	CARCINOMA EMBRIONARI O	Tm SACO VITELINO	SERTOLI MALIGNO	MX CARCINOM A
<i>SALL4</i>	+	+	+		
<i>OCT3/4</i>	+	+	-		
<i>CD30</i>	-	+	-	<i>Inhibina</i> +	
<i>Glypican3</i>	-	-	+		
<i>AFP</i>	-	-	+		
<i>D2-40</i>	+	-	+		
<i>B-hCG</i>	-	-/+	-		
<i>AE1/AE3</i>	-	-/+	+		+++

METÁSTASIS DE CARCINOMA

Suele aparecer en pacientes con AP
neoplasia maligna
60 años (19-90años)

- 62% unilaterales únicas
- 21 % bilaterales
- 17% múltiples

10% masa testicular unilateral, aumento de
tamaño testicular y/o hidrocele sin AP de
neoplasia

SIGNOS DE ALARMA

- Antecedentes de neoplasia maligna
- Edad >50años
- Bilateralidad de las lesiones
- Morfología no concordante con neoplasias primarias testiculares o paratesticulares
- Invasión linfovascular
- Patrón de crecimiento intratubular

Carcinomatous tumors

Broad spectrum CKs+
S100-, HMB45-
CD45-

CK7+/CK20+	CK7+/CK20-	CK7-/CK20+	CK7-/CK20-		
Urothelial CA uroplakin+ thrombomodulin+ P63+ CK5/6 (~1/2+)	Breast CA ER/PR+ GCDFP+ mammaglobin+ CEA+	Lung SmCC (majority) TTF-1+ NE markers ^a + p63-	Colorectal adenoCA CDX2+ CEA+ MUC-2+ MUC5-AC-	Prostate adenoCA PSA+ PAP+ CEA- uroplakin-	Nonseminoma GCTs^b PLAP+ EMA- Yolk sac tumor: AFP+
Pancreatic adenoCA (-2/3) CEA+ CA19-9+ MUC5-AC+ MUC-2- CDX2 (variable)					

Endocrine

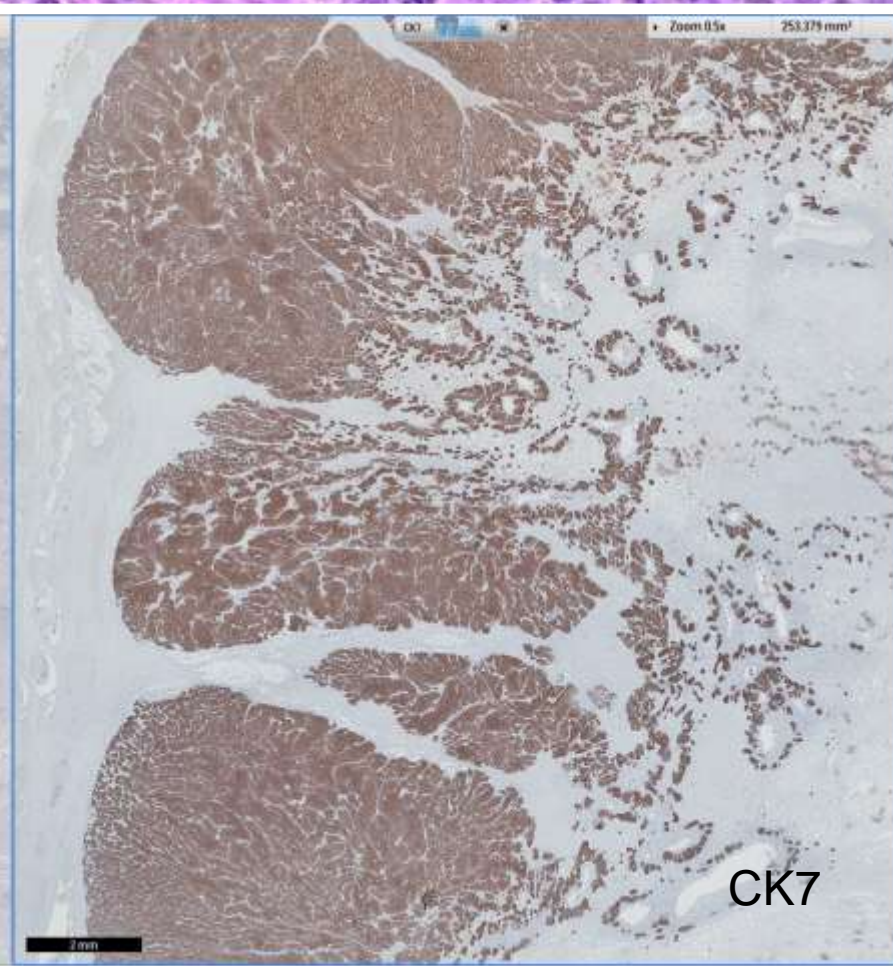
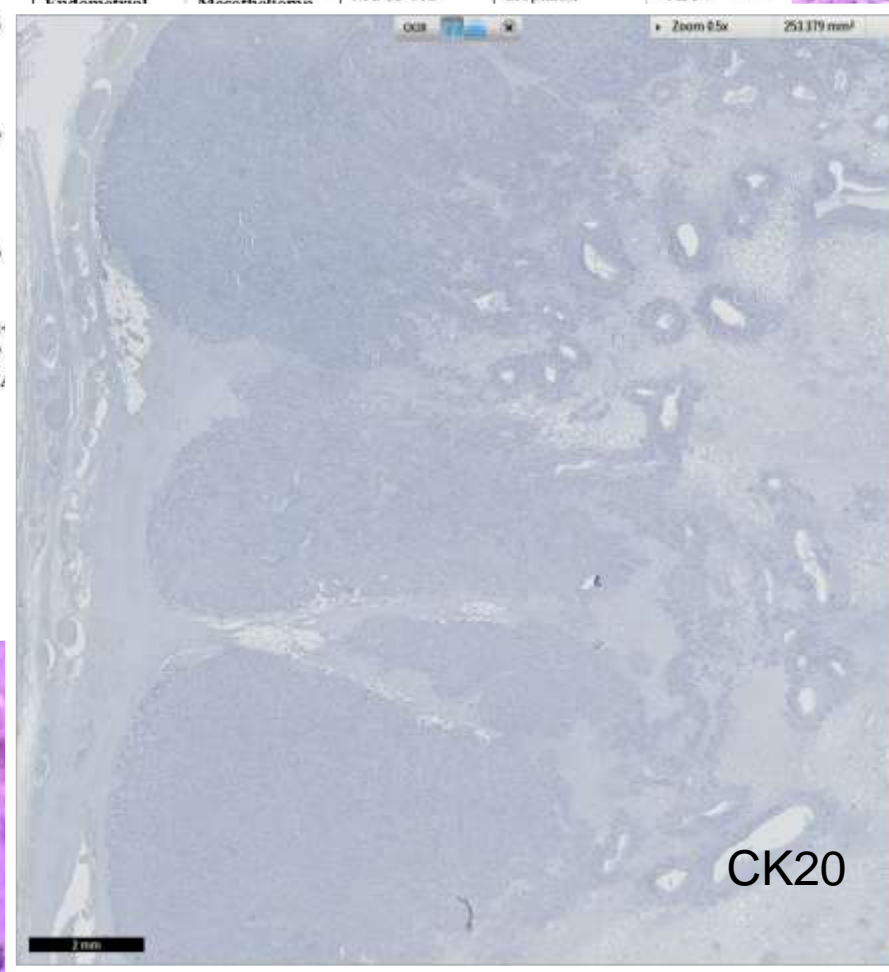
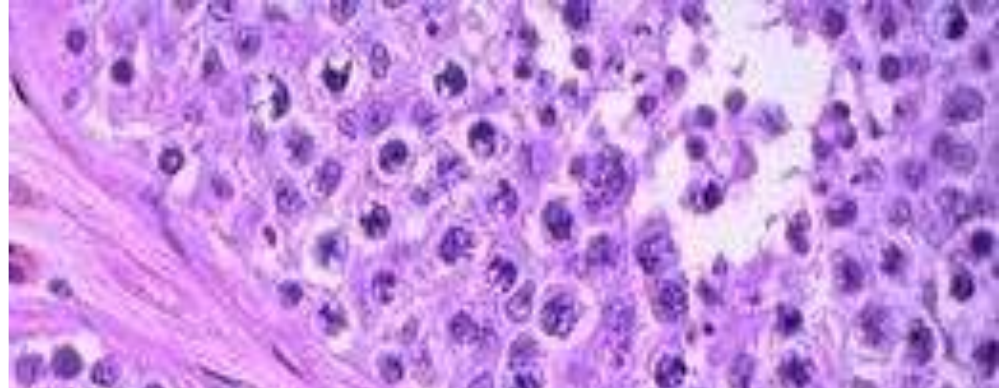
Mucinous

Ovarian
mucinous CA
MUC5-AC+
MUC-2-
CDX2 (variable)

AdenoCA of bladder
thrombomodulin-
CDX2 (variable)

Gastric adenoC
(subset)

CholangioCA
(minor subset)



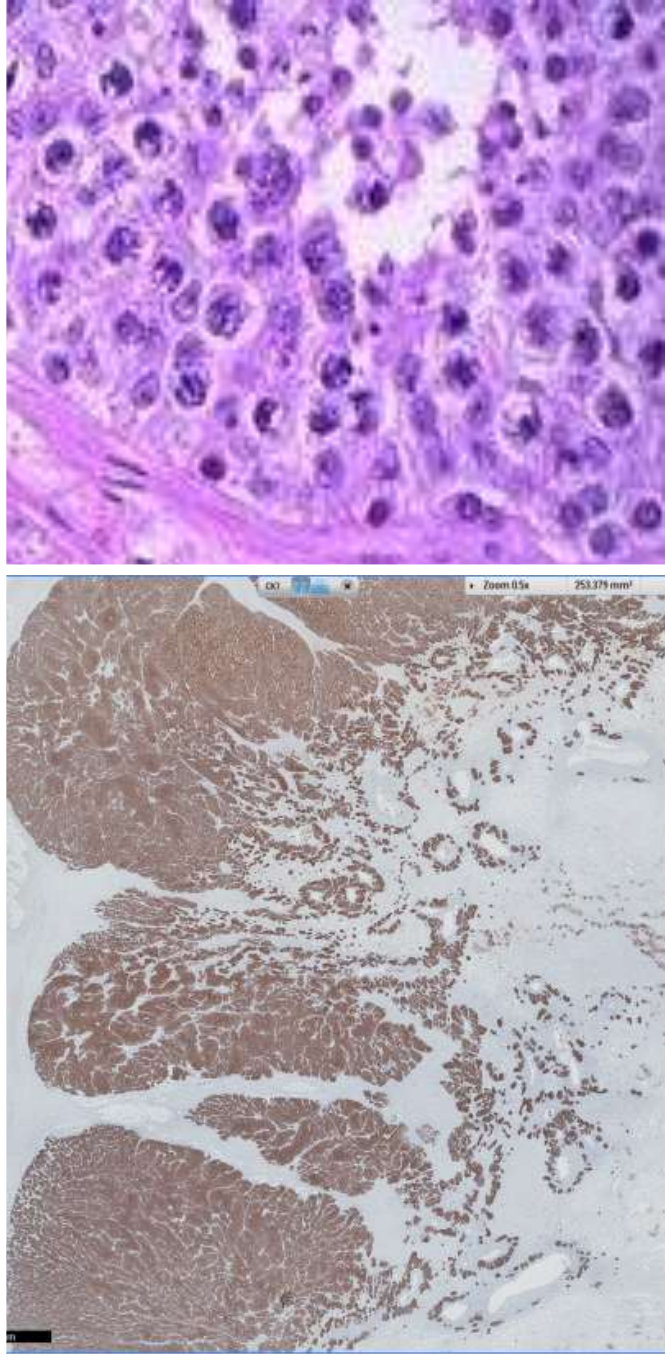
Extraída de Bahrami, A. et al. *Undifferentiated tumor: true identity by immunohistochemistry*.

Archives of pathology & laboratory medicine, 2008, vol. 132, no 3, p. 326-348.

Carcinomatous tumors

Broad spectrum CKs+
S100-, HMB45-
CD45-

CK7+/CK20+	CK7+/CK20-	CK7-/CK20+	CK7-/CK20-		
Urothelial CA uroplakin+ thrombomodulin+ P63+ CK5/6 (~1/2+)	Breast CA ER/PR+ GCDFP+ mammaglobin+ CEA+	Lung SmCC (majority) TTF-1+ NE markers ^a + p63-	Colorectal adenoCA CDX2+ CEA+ MUC-2+ MUC5-AC-	Prostate adenoCA PSA+ PAP+ CEA- uroplakin- thrombomodulin- p63- CK5/6-	Nonseminoma GCTs^b PLAP+ EMA- Yolk sac tumor: AFP+ Embryonal CA: OCT3/4+ CD30+
Pancreatic adenoCA (~2/3) CEA+ CA19-9+ MUC5-AC+ MUC-2- CDX2 (variable)	Endometrial adenoCA vimentin+ ER/PR+ CEA-	Mesothelioma (~2/3) calretinin+ WT1+ CK5/6+ thrombomodulin+ D2-40+ mesothelin+ p63- CEA- MOC31- Ber-EP4- TTF-1-	Merkel cell CA NE markers ^a + Gastric adenoCA (subset)	 SCC p63+ CK5/6+ thrombomodulin+ RCC vimentin+ RCC marker+ CD10+ CEA-	Mesothelioma (~1/3) Lung SmCC (minor subset) Gastric adenoCA (subset)
Ovarian mucinous CA MUC5-AC+ MUC-2- CDX2 (variable)	Endocervical adenoCA CEA+ vimentin- ER/PR-	 Ovarian serous CA WT1+ ER/PR+ mesothelin+ CEA-	 Thyroid CA TTF-1+ ^v thyroglobulin+ ^v CEA- (except medullary CA)	 HCC HepPar1+ pCEA+ ^s CD10+ ^s MOC31- CK19-	
Gastric adenoCA (subset)	Lung adenoCA TTF-1+ CEA+ CK5/6- p63-	 SCC of cervix	 Salivary gland tumor	 Adrenocortical CA inhibin+ calretinin+ melanA+ vimentin+ CEA-	
CholangioCA (minor subset)	CholangioCA CEA+ CK19+ MOC31+ CA19-9+ CDX2 (variable) HepPar1-	 Urothelial CA (subset)	 Pancreatic and gastric adenoCA (subset)		

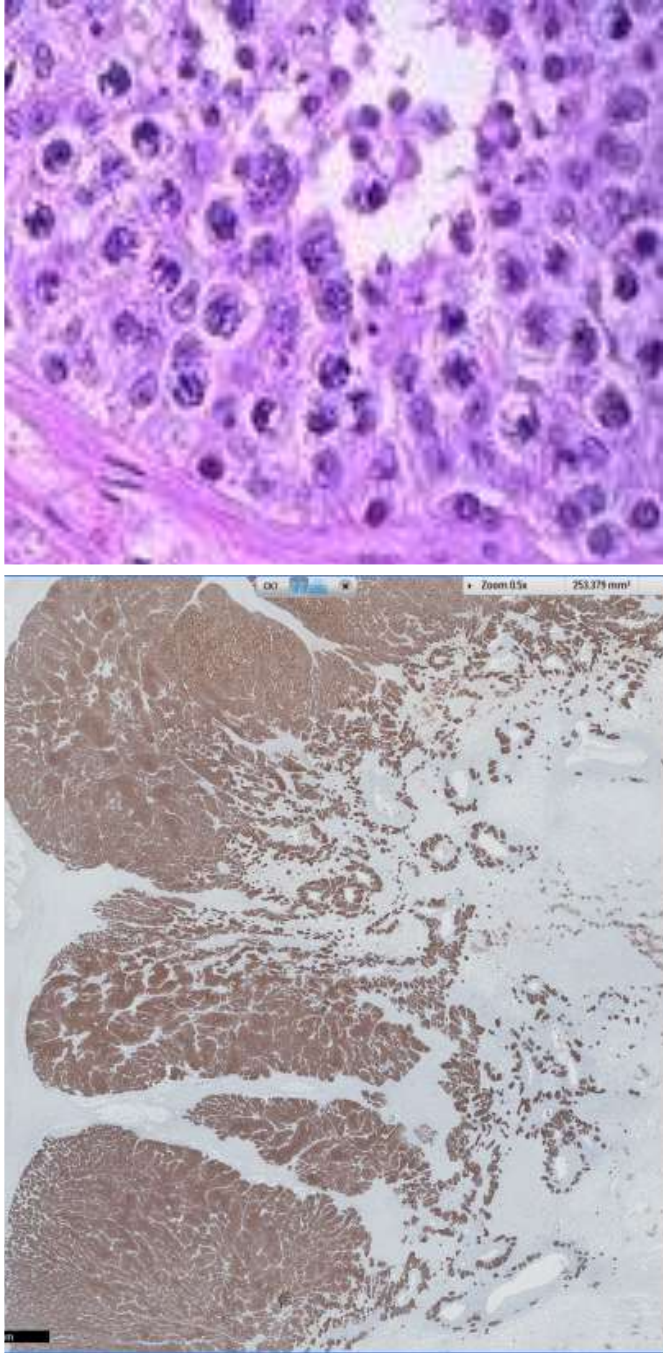


munohistochemistry.

Carcinomatous tumors

Broad spectrum CKs+
S100-, HMB45-
CD45-

CK7+/CK20+	CK7+/CK20-	CK7-/CK20+	CK7-/CK20-		
Urothelial CA uroplakin+ thrombomodulin+ P63+ CK5/6 (~1/2+)	Breast CA ER/PR+ GCDFP+ mammaglobin+ CEA+	Lung SmCC (majority) TTF-1+ NE markers ^a + p63-	Colorectal adenoCA CDX2+ CEA+ MUC-2+ MUC5-AC-	Prostate adenoCA PSA+ PAP+ CEA- uroplakin- thrombomodulin- p63- CK5/6-	Nonseminoma GCTs^b PLAP+ EMA- Yolk sac tumor: AFP+ Embryonal CA: OCT3/4+ CD30+
Pancreatic adenoCA (~2/3) CEA+ CA19-9+ MUC5-AC+ MUC-2- CDX2 (variable)	Endometrial adenoCA vimentin+ ER/PR+ CEA-	Mesothelioma (~2/3) calretinin+ WT1+ CK5/6+ thrombomodulin+ D2-40+ mesothelin+ p63- CEA- MOC31- Ber-EP4- TTF-1-	Merkel cell CA NE markers ^a + Gastric adenoCA (subset)	RCC vimentin+ RCC marker+ CD10+ CEA-	Mesothelioma (~1/3) Lung SmCC (minor subset) Gastric adenoCA (subset)
Ovarian mucinous CA MUC5-AC+ MUC-2- CDX2 (variable)	 Ovarian serous CA WT1+ ER/PR+ mesothelin+ CEA-	 Thyroid CA TTF-1+ ^y thyroglobulin+ ^y CEA- (except medullary CA)	 HCC HepPar1+ pCEA ^a ^z CD10 ^a ^z MOC31- CK19-	 Adrenocortical CA inhibin+ calretinin+ melanA+ vimentin+ CEA-	
Gastric adenoCA (subset)	Lung adenoCA TTF-1+ CEA+ CK5/6- p63-	SCC of cervix			
CholangioCA (minor subset)	CholangioCA CEA+ CK19+ MOC31+ CA19-9+ CDX2 (variable) HepPar1+	Urothelial CA (subset)			
		Pancreatic and gastric adenoCA (subset)			

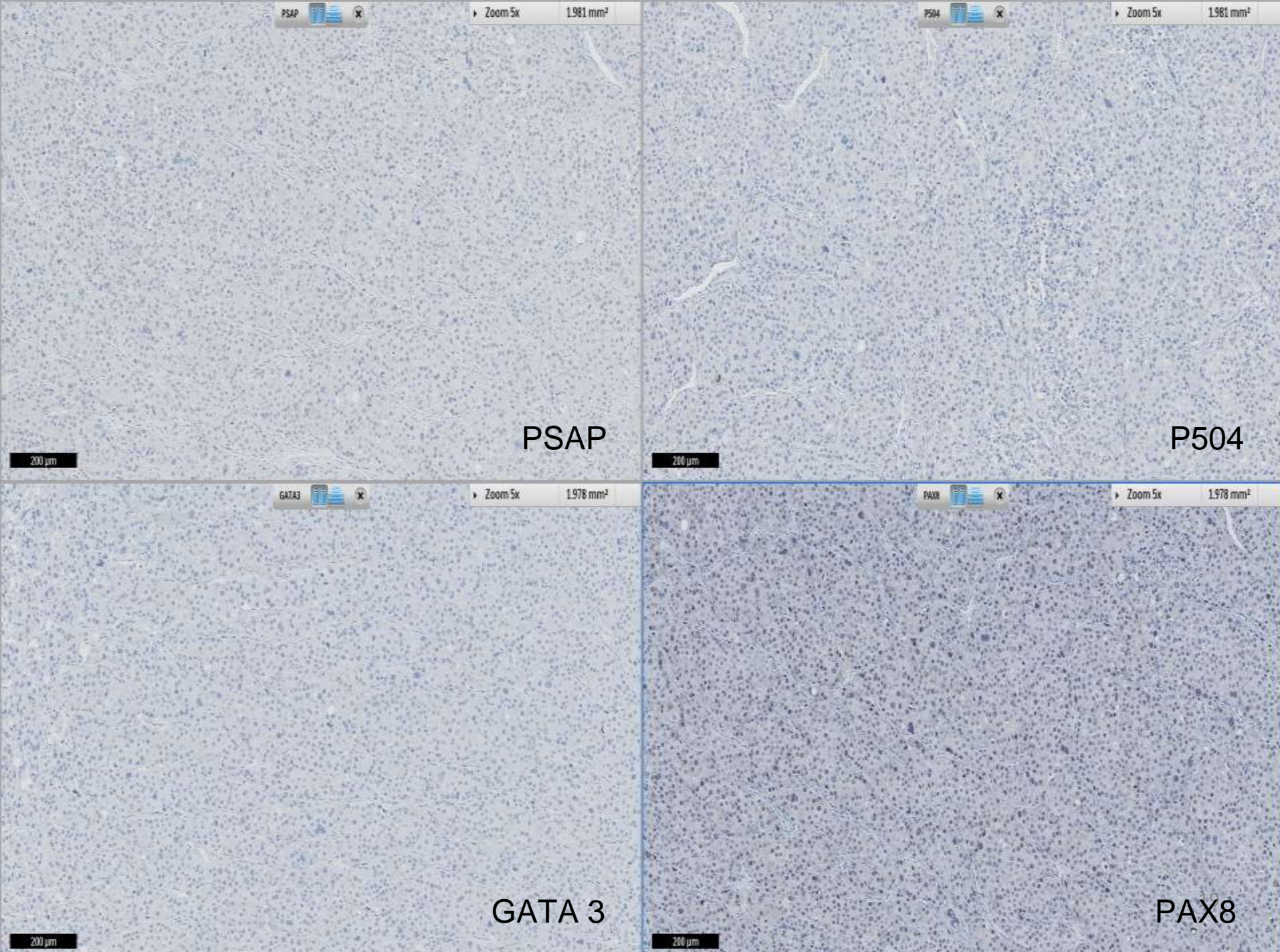


munohistochemistry.

METÁSTASIS EN TESTÍCULO

ADULTOS		< 18 AÑOS	
PRIMARIO	%	PRIMARIO	%
Próstata	33.8	Neuroblastoma	7.4
Tracto GI	14.4	Nefroblastoma	1.8
Riñón	9.8	Rabdomiosarcoma	1.6
Pulmón	9.6	Retinoblastoma	0.4
Melanoma	5.7	Meduloblastoma	0.2
Vejiga y tracto urinario	5.2		
Páncreas	2.2		

Adaptada de *WHO Classification of Tumours of the Urinary System and Male Genital Organs*, IARC 2016



IHQ

POSITIVIDAD
AE1/AE3
CK 7

NEGATIVIDAD
OCT3/4 SALL4
CD30 αFP hCG
Podoplanina Villina
Inhibina Melan A
Racemasa PSAP
GATA-3
CK20 Vimentina S-100
PAX-8

A high-magnification light micrograph showing a dense population of neoplastic cells. The cells are polygonal or rounded, with dark purple nuclei containing prominent nucleoli. They are separated by a dense network of pinkish-red stroma, which appears to be collagenous tissue. Some larger, more pleomorphic cells are visible, suggesting a high-grade tumor. The overall pattern is infiltrative, typical of metastatic carcinoma.

METÁSTASIS DE CARCINOMA DE PRIMARIO DESCONOCIDO



Nueva historia clínica → AP Ca Papilar de Tiroides

Estudio de extensión:

Múltiples nódulos en mesenterio, flanco izquierdo, polo superior de riñón derecho y adenopatías y...

RMN

118: D112/8/6/9513

e Pos: HFS

Desc:

esc: SAGI

16 >



Paciente: 118/8/6/9513

Estudio Desc:

Serie Desc: Torax 3.0-B31s

<2-104>

Resolución original

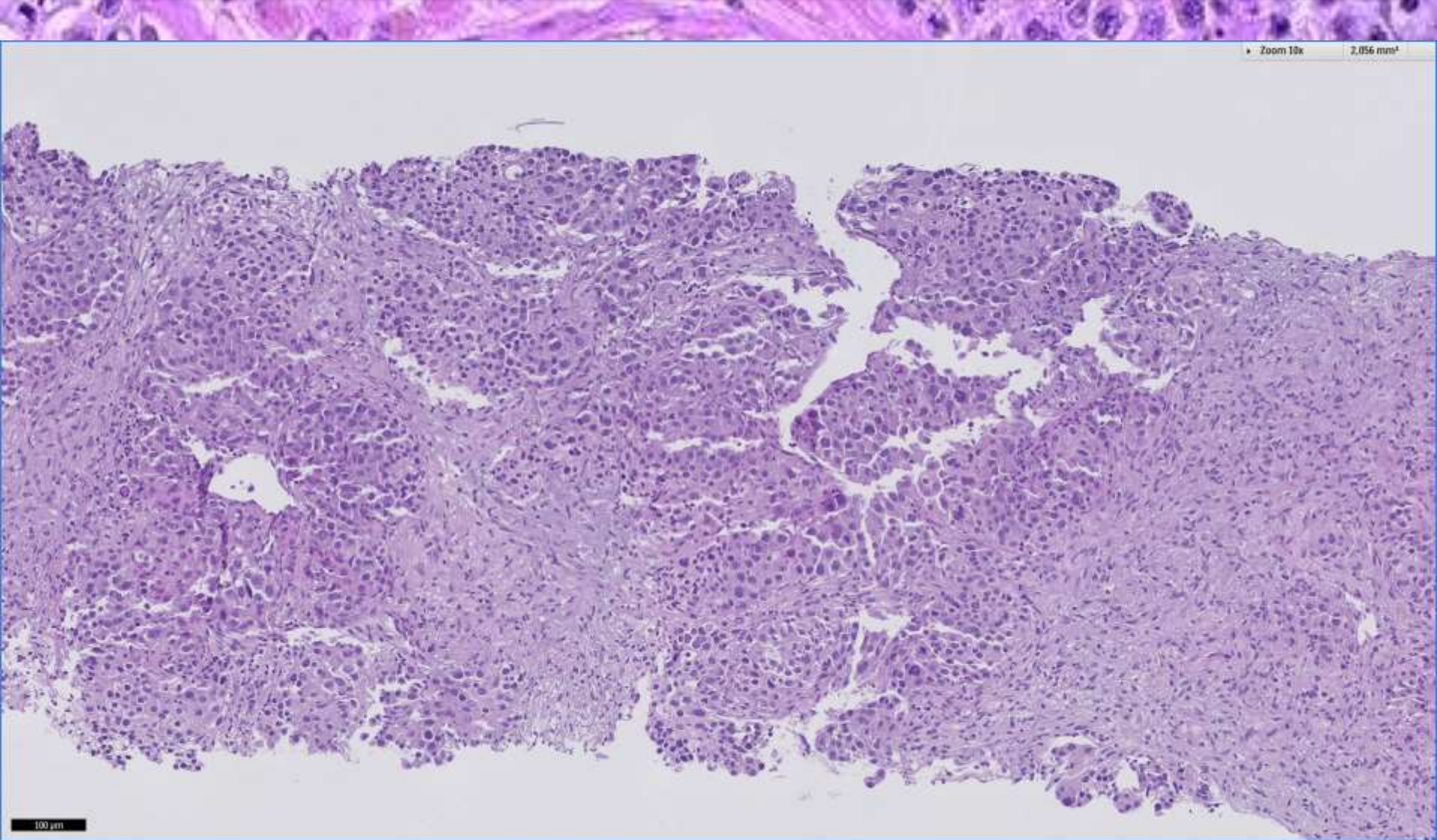
DFOV 48.2 x 48.2 cm



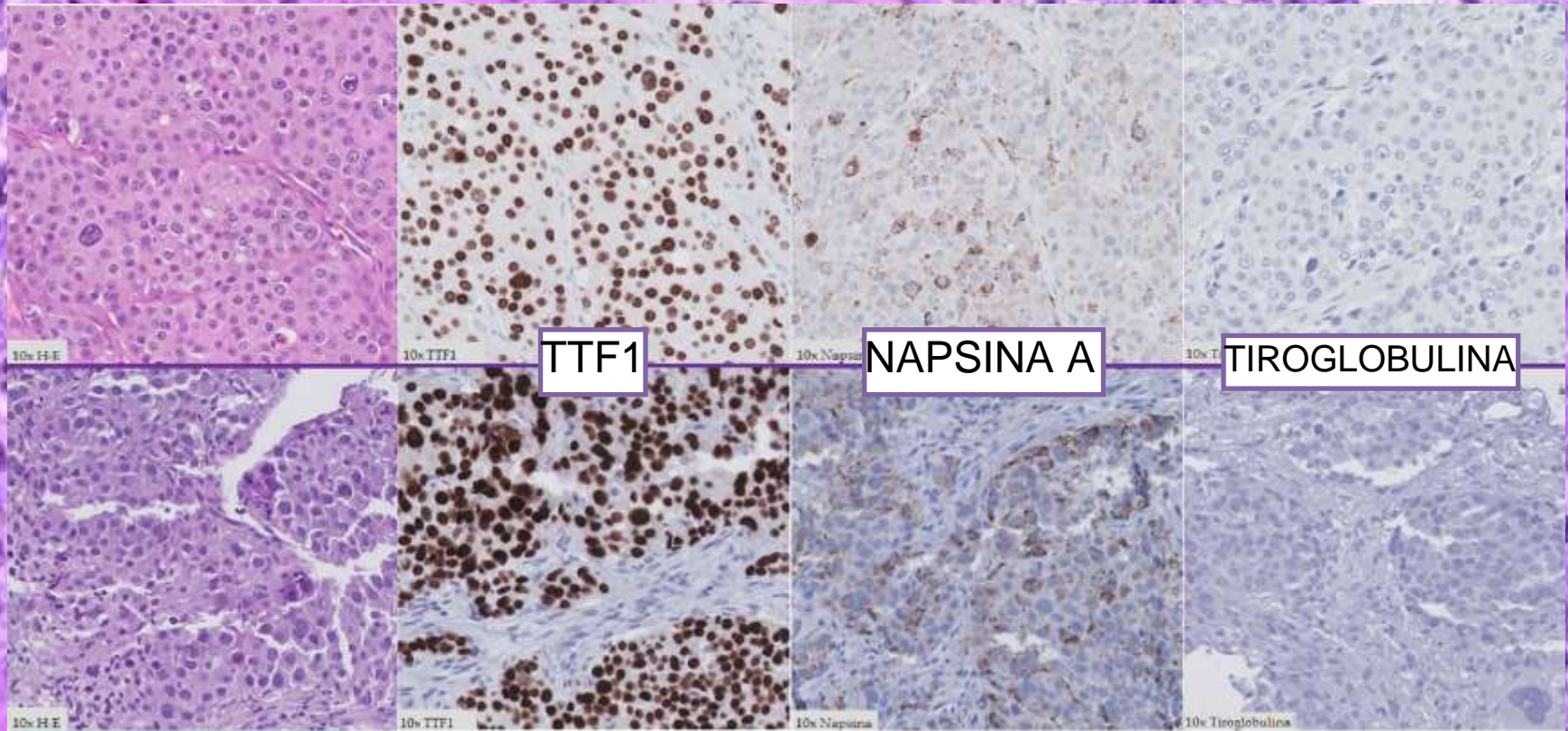
Masa pulmonar derecha de 9 x 8 cm en LID

C 40
A 400

BAG de masa pulmonar: cilindro de 1,4 cm DM



Masa testicular



Masa pulmonar

+ TTF1, Napsina A
- CK 5/6, GATA3, p63, Tiroglogulina

**ADENOCARCINOMA
SÓLIDO INFILTRANTE DE
PULMÓN CON METÁSTASIS
MÚLTIPLES
T3N2M1**

Bibliografía

- Ye, H., & Ulbright, T. M. (2012). Difficult differential diagnoses in testicular pathology. *Archives of pathology & laboratory medicine*, 136(4), 435-446.
- Krishna, M. (2010). Diagnosis of metastatic neoplasms: an immunohistochemical approach. *Archives of pathology & laboratory medicine*, 134(2), 207-215.
- Bahrami, A., Truong, L. D., & Ro, J. Y. (2008). Undifferentiated tumor: true identity by immunohistochemistry. *Archives of pathology & laboratory medicine*, 132(3), 326-348.
- Emerson, R. E., & Ulbright, T. M. (2007). Morphological approach to tumours of the testis and paratestis. *Journal of clinical pathology*, 60(8), 866-880.
- Moch, H., Humphrey, P. A., & Ulbright, T. M. (2016). Who classification of tumours of the urinaryt system and male genital organs. In *Who classification of tumours of the urinaryt system and male genital organs*.
- Bostwick, D. G., & Cheng, L. (2008). *Urologic surgical pathology*. Elsevier Health Sciences.